

浙江大学



本科实验报告

仪器通信接口设计

课程名称： 仪器系统设计

姓名：

学院： 生物医学工程与仪器科学学院

专业： 生物医学工程

学号：

指导老师： 周泓

2025 年 6 月 3 日

浙江大学实验报告

专业： 生物医学工程
姓名： _____
学号： _____
日期： 2025 年 6 月 3 日
地点： _____

课程名称： 仪器系统设计 指导老师： 周泓 成绩： _____
实验名称： 仪器通信接口设计 实验类型： _____ 同组学生姓名： _____

1. 如果一个 MCU 没有内置的 I2C 总线接口，如何采用 I/O 口模拟方式实现 I2C 总线通讯。

一个微控制器（MCU）没有内置 I²C 总线接口但是通过通用输入/输出（I/O）口模拟方式实现 I²C 总线通信的方法，被称为”软件 I²C”或”位操作 I²C”，它通过对 I/O 口进行时序控制来模拟 I²C 协议的时钟（SCL）和数据（SDA）信号。

(1) I²C 总线

I²C 总线由 SDA（串行数据线）和 SCL（串行时钟线）构成。总线上可以连接多个微控制器和外围器件，每个器件由唯一的地址确定。当某个器件向总线上发送信息时，它是发送器；当它从总线上接收信息时，又成为接收器。SDA 和 SCL 均为双向 I/O 线，当总线空闲时，两条线均为高电平。连接到总线的器件的输出级必须是集电极或漏极开路，通过上拉电阻接正电源，以便完成”线与”功能。

(2) 硬件连接设计

在硬件层面上，I/O 口模拟 I²C 需要精心设计连接方式。首先选择 MCU 的两个通用 I/O 引脚，一个作为 SCL 线，一个作为 SDA 线。SCL 和 SDA 线都需要通过上拉电阻连接到电源 VCC，这是 I²C 总线”线与”逻辑的基础，因为 I²C 器件的输出是开漏（或集电极开路）的。

在软件配置中，需要将 SCL 和 SDA 引脚配置为推挽输出（用于拉低电平）和输入（用于检测电平或被外部拉低）两种模式。为了实现双向通信，SDA 引脚需要能够在输出模式和输入模式之间灵活切换。这种设计确保了模拟 I²C 能够完全兼容标准 I²C 协议的电气特性。

(3) 时序软件实现

软件模拟的核心在于通过精确控制 I/O 口的输出电平（高/低）和延时，来模拟 I²C 协议中的各种关键时序信号。表 1总结了主要时序信号的实现方法：

在字节级数据传输中，发送字节时需要每次发送 8 位数据。在 SCL 为低电平时，将 SDA 设置为数据位的值（高或低），然后拉高 SCL 并保持一段时间供对方采样，最后拉低 SCL 准备发送下一位。发送完 8 位后，释放 SDA 线并等待从器件的应答信号。

接收字节的过程则相反：在 SCL 为低电平时将 SDA 设置为输入模式，拉高 SCL 后在其高电平期间读取 SDA 上的数据位，读取完毕后拉低 SCL 准备接收下一位。接收完 8 位后，主器件需要发送一个应答（ACK）或非应答（NACK）信号给从器件。

表 1: I²C 关键时序信号的软件实现方法

时序信号	触发条件	实现步骤
起 始 条 件 (START)	SCL 为高电平时,SDA 由高变低	1. SDA 和 SCL 都设置为高电平 2. SDA 拉低 3. SCL 拉低
停 止 条 件 (STOP)	SCL 为高电平时,SDA 由低变高	1. SDA 拉低 2. SCL 拉高 3. SDA 拉高
数据位发送	SCL 低电平期间设置数据	1. SCL 为低时设置 SDA 电平 2. 拉高 SCL (数据采样期) 3. 拉低 SCL 准备下一位
数据位接收	SCL 高电平期间采样数据	1. SDA 设为输入模式 2. 拉高 SCL 3. 读取 SDA 电平值 4. 拉低 SCL
应答信号	第 9 个时钟周期的响应	发送方释放 SDA, 接收方拉低表示 ACK 或保持高电平表示 NACK

应答机制是 I²C 协议可靠性的重要保证。发送方在发送完 8 位数据后会释放 SDA 线, 接收方在第 9 个时钟周期将 SDA 拉低表示应答 (ACK), 或保持高电平表示非应答 (NACK)。发送方通过检测第 9 个时钟周期的 SDA 电平来判断是否收到正确应答。

(4) 软件架构与函数封装

为了提高代码的可维护性和重用性, 通常会封装一系列函数来实现 I²C 的原子操作。这些函数包括 I2C_Start() 用于产生起始条件、I2C_Stop() 用于产生停止条件、I2C_WriteByte(unsigned char data) 用于发送一个字节、I2C_ReadByte(unsigned char ack_en) 用于接收一个字节、I2C_SendAck() 和 I2C_SendNack() 用于发送应答信号, 以及 I2C_Delay() 用于控制时序的微秒级延时。

这种模块化的函数设计使得上层应用可以通过调用这些基础函数来实现复杂的 I²C 通信协议, 如 EEPROM 读写、传感器数据采集等。同时, 这种设计也便于在不同的硬件平台间移植代码。

(5) 实现中的关键注意事项

时序精度是软件模拟 I²C 成功的关键因素。延时函数的精度会直接影响通信的稳定性和可靠性, 在不同 CPU 主频下, 延时函数需要相应调整以确保符合 I²C 时序规范。过快的时序可能导致从设备无法正确采样, 过慢的时序则会降低通信效率。

中断管理也是一个重要考虑因素。如果在 I²C 通信过程中发生中断, 可能会打乱精心设计的时序, 导致通信失败。因此, 在 I²C 操作的关键部分可能需要临时禁用中断, 但这需要在系统响应性和通信可靠性之间找到平衡。

当系统中存在多个微处理器时, 需要考虑总线竞争问题。多个微处理器可能同时产生开始条件, 发生争用总线的情况。此时, SDA 上的信号由所有主器件产生的数据信号进行“线”与“线”裁决。软件模拟需要正确实现总线仲裁机制, 确保在多主模式下的稳定工作。

调试复杂性是软件模拟 I²C 面临的另一个挑战。相比硬件 I²C，软件模拟的调试更加复杂，通常需要逻辑分析仪等专业工具来观察时序波形，验证信号的正确性。良好的代码注释和模块化设计能够显著简化调试过程。

通过上述方法和注意事项，即使 MCU 没有内置 I²C 硬件模块，也能利用通用 I/O 口实现可靠的 I²C 通信，为系统设计提供更大的灵活性。

2. 分析比较采用 I²C 总线和 SPI 总线进行仪器模块间通讯的异同点。

I²C (Inter-Integrated Circuit) 和 SPI (Serial Peripheral Interface) 是两种在低端数字通信应用领域广泛使用的串行通信总线，它们都在仪器模块间用于短距离、低速到中速的数据交换。这两种协议的诞生有着不同的历史背景：I²C 由 Philips 公司于 1982 年开发，最初是为了给电视机内的 CPU 和外围芯片提供更简易的互联方式；而 SPI 总线首次推出是在 1979 年，由 Motorola 公司将其集成在第一支改自 68000 微处理器的微控制器芯片上。

(1) 协议架构对比

如图 1 和图 2 所示，两种总线在物理连接和信号线数量上存在显著差异。

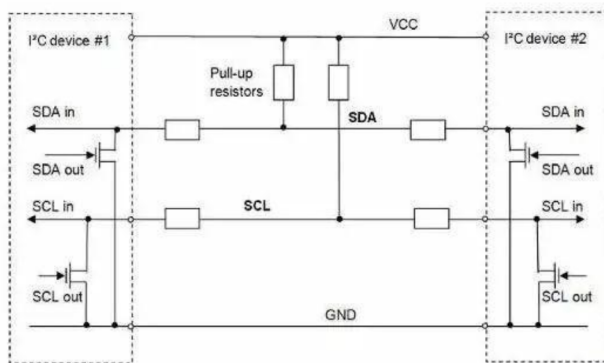


图 1: I²C 总线连接示意图

I²C 总线设计精巧，仅使用两根信号线：SDA（串行数据线）和 SCL（串行时钟线）。这种设计理念源于节省微控制器引脚和避免额外逻辑芯片的需求，使印刷电路板更简单，成本更低。SDA 和 SCL 均为双向传输线，当总线空闲时，两条线均为高电平。在物理实现上，SCL 线和 SDA 线都是漏极开路（open-drain），通过上拉电阻外加一个电压源实现“线与”功能。

相比之下，SPI 总线需要四根信号线：SCLK（串行时钟）、MOSI（主设备输出/从设备输入）、MISO（主设备输入/从设备输出）、以及 SS（从设备选择）。对于有经验的数字电子工程师来说，用 SPI 互联两支数字设备是相当直观的，其全双工的特性允许 MOSI 和 MISO 独立工作，可以在同一时刻进行发送和接收。

(2) 通信模式与寻址机制

两种总线在主从关系和寻址方式上体现了不同的设计哲学。I²C 支持多主设备架构，任何设备都可以发起通信成为主设备。每个 I²C 设备都有一个唯一的七位设备地址，主设备通过发送器件地址来选

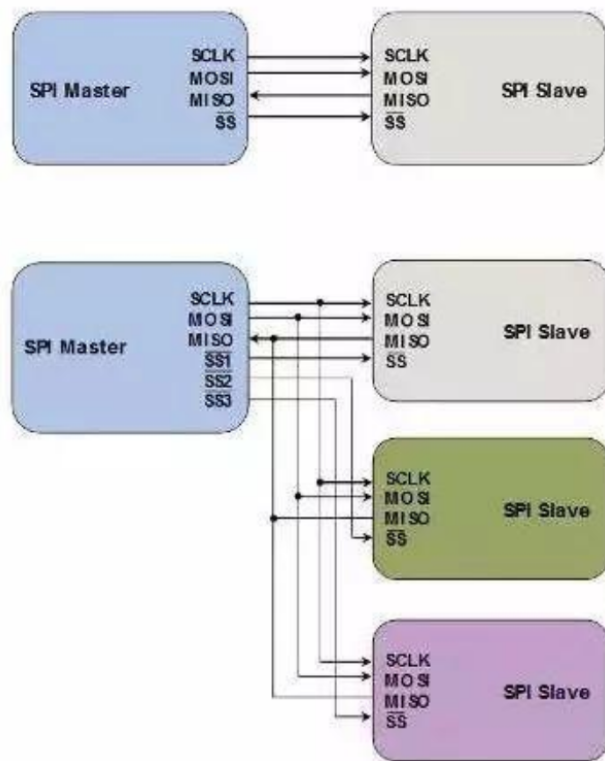


图 2: SPI 总线连接示意图

择从设备。这种设计实现了任意数目设备间的无缝通信，堪称完美。当多个主设备竞争总线时，基于总线的物理特性，发送逻辑 0 的设备始终是”赢家”，”输家”会检测到冲突并退出竞争。

SPI 则采用单主设备（single-master）通信协议，总线中只有一个中心设备能发起通信。SPI 没有内置寻址机制，每个从设备都需要一个独立的片选线（SS）与主设备相连。当主设备要与某个从设备通信时，需要拉低该从设备对应的 SS 线。这种设计限制了连接的从设备数量，受限于主设备的 I/O 口数量。

(3) 性能与可靠性对比

表 2 详细比较了两种总线的主要技术特性：

在数据传输速度方面，SPI 具有明显优势。如果应用中必须使用高速数据传输，那么 SPI 是必然的选择。SPI 没有定义速度限制，一般的实现通常能达到甚至超过 10Mbps。I²C 的数据传输速率从最初的 100kbps 标准模式，经历了 1995 年的 400kbps 快速模式，到 1998 年的 3.4Mbps 高速模式的发展，但高速模式需要额外的 I/O 缓冲区，实现相对复杂。

在可靠性方面，I²C 协议规定了完整的应答机制。当从设备接收数据后会发送应答信号——ACKNOWLEDGE 作回应，确保数据传输的可靠性。SPI 则没有规定通信应答机制，也没有规定流控制规则，主设备甚至不知道指定的从设备是否存在，这些通信控制都需要在 SPI 协议基础上自行实现。

表 2: I²C 与 SPI 总线技术特性对比

特性	I ² C 总线	SPI 总线
信号线数量	2 根 (SDA, SCL)	4 根 (SCLK, MOSI, MISO, SS)
通信模式	半双工, 分时复用 SDA 线	全双工, MOSI 和 MISO 独立工作
主从关系	多主设备支持, 支持总线仲裁	单主设备架构
寻址方式	7 位设备地址 (可扩展至 10 位)	硬件片选线, 无内置寻址
传输速率	标准模式 100kbps, 快速模式 400kbps, 高速模式 3.4Mbps	无速度限制, 一般可达 10Mbps 以上
应答机制	内置 ACK/NACK 应答机制	无应答机制, 无流控制
协议复杂度	相对复杂, 需处理 START/STOP 条件、地址、应答等	结构直观简单, 但需要额外协议支持
标准化程度	有明确的 IEEE 标准	事实标准, 无官方规范

(4) 工程实践中的选择考量

从总线拓扑结构和硬件资源耗费角度看, I²C 是明显的优胜者。它只需两根信号线, 而标准 SPI 至少需要四根信号, 如果有多个从设备, 信号线需要更多。用 I²C 构建系统总线的唯一限制是 7 位地址空间 (理论上只能支持 127 种不同设备), 但新标准已经通过 10 位地址方案解决了这个问题。

在优雅性方面, 两种协议各有特色。I²C 常被称为更优雅的设计, 它用很轻盈的架构实现了多主设备仲裁和设备路由。但对使用工程师来讲, 理解总线结构更费劲, 而且总线性能不高。SPI 的优点在于结构相当直观简单, 容易实现, 并且有很好的扩展性。要想获得 SPI 特有的高速性能特性, 工程师们需要在 SPI 之上构建特定的通信协议软件。

应用场景总结: I²C 更适合连接多个低速外设的场合, 如 EEPROM、实时时钟芯片、传感器等”字节设备”的多主设备应用, 特别是在布线数量有严格限制的情况下。SPI 则适合高速数据传输场合, 如 Flash 存储器、SD 卡、ADC/DAC 芯片等数据流应用, 以及对实时性要求较高的场景。

在数字通信协议簇中, I²C 和 SPI 常被称为”小”协议, 相对于 Ethernet、USB 等高速总线, 它们体现了”够用就好”的设计哲学, 为系统内各芯片间的通信提供了完美的解决方案。

3. 查阅资料, 理解 VXI 总线仪器产生的意义和特点。

VXI (VMEbus eXtensions for Instrumentation) 总线仪器是一种模块化的测试测量平台标准, 它在 20 世纪 80 年代后期由 HP、Tektronix 等五家国际知名仪器公司联合提出, 并于 1992 年被 IEEE 接纳为 IEEE-1155-1992 标准。

(1) VXI 总线仪器产生的历史背景与意义

VXI 总线的产生是为了应对传统独立式仪器在自动化测试领域面临的挑战。在 VXI 出现之前, 自动化测试系统主要依靠独立的台式仪器, 这些仪器体积庞大、接口不统一, 导致系统集成复杂且成本高昂。图 3 展示了典型的 VXI 系统架构, 说明了其模块化的设计理念。

VXI 总线的核心意义体现在几个关键方面。首先是模块化和集成度的革命性提升。传统独立仪器体积大、接口不统一的问题得到了根本性解决。VXIbus 通过将测试仪器功能模块化, 并插入统一的 VXIbus 主机箱中, 实现了系统体积的小型化和集成度的显著提高。这对于有限的实验室空间或复杂的自动化测试系统具有重要意义。

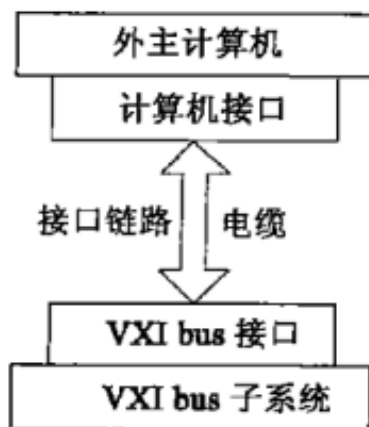


图 3: VXI 系统结构图

开放性标准是 VXI 的另一大创新。VXIbus 规范作为一个开放的体系结构标准，打破了传统的厂商壁垒。不同厂家生产的 VXIbus 器件之间、VXIbus 器件与其它标准器件之间能够以明确的方式开放地通信，这种互操作性为用户提供了更多选择和系统设计的灵活性。

在性能方面，VXI 总线通过使用高带宽的数据传输能力，为开发者提供了高性能的测试设备。它在 VMEbus 基础上增加了专门用于测量同步和触发的仪器总线、模拟相加总线以及用于模块之间通信的本地总线，使得 VXI 系统能够处理高速、高精度的数据采集和控制任务。

成本效益同样是 VXI 系统的重要优势。通过采用通用的接口来实现相似的仪器功能，VXIbus 系统能够显著降低系统集成软件的成本。VXI Plug&Play 联盟的成立进一步通过规定统一的连接器、UUT 接口、共享存储器通信协议和标准系统软件框架，增强了硬件兼容性和软件的互换性。

(2) VXI 总线仪器的技术特点

表 3总结了 VXI 总线仪器的主要技术特点：

VXI 总线架构的一个突出特点是其高度的可扩展性和灵活性。规范允许许多器件驻留在一个插槽中，或者一个复杂器件占用多个插槽，这种设计提高了系统集成度和便携性。这种灵活的配置方式使得 VXI 系统能够适应各种不同规模和复杂度的测试需求。

从技术实现角度看，VXI 总线在保持 VMEbus 优秀特性的基础上，针对仪器测量的特殊需求进行了专门的功能扩展。仪器总线确保了高精度的同步测量，这对于需要多通道同步采集的应用至关重要。模拟相加总线则方便了模拟信号的集成和处理，而本地总线提供了模块之间的高速通信能力。

电磁兼容性、供电和冷却规范的制定体现了 VXI 标准的工程化思维。这些规范对机箱制造商和模块制造商都提出了明确的技术指标要求，确保了系统集成的稳定性和可靠性，这对于工业级应用环境具有重要意义。

(3) VXI 总线的发展意义

VXI 总线仪器的出现具有深远的历史意义，它不仅解决了当时自动化测试系统面临的技术难题，更重要的是建立了一种新的仪器系统设计理念。这种模块化、标准化的设计思想后来被广泛应用于各种仪器系统中，推动了整个测试测量行业的技术进步。

表 3: VXI 总线仪器主要技术特点

特点类别	具体描述
模块化结构	系统由 VXIbus 主机箱、VXIbus 器件（模块）、VXIbus 资源管理器和主控制器组成。VXI 模块具有统一的机械封装和电气接口，支持热插拔操作
模块规格	规范定义了 A、B、C、D 四种尺寸的模块，其中 C 尺寸系统因体积较小、成本相对较低且能发挥高性能优势而最为常见
总线架构	完全支持 32 位 VME 计算机总线，继承了 VMEbus 的高性能和稳定性，同时增加了仪器专用功能
增强功能	增加了额外电源线（模拟供电和 ECL 供电）、仪器总线（测量同步和触发）、模拟相加总线、本地总线（模块间高速通信）
系统管理	零槽模块完成系统背板管理，提供时钟源和背板总线仲裁功能。资源管理器负责系统上电或复位时的配置
设计规范	对 EMC（电磁兼容性）、供电和冷却能力提出明确指标要求，确保系统集成的稳定性
地址空间	每个 VXIbus 器件都有唯一逻辑地址，编号从 0 到 255，一个系统最多可容纳 256 个器件
即插即用	通过统一连接器、UUT 接口、共享存储器通信协议和标准系统软件框架，实现硬件兼容性和软件的“Plug&Play”互换性

特别值得注意的是，VXI 总线满足了军事和航空航天等高端应用领域对测控系统的严格要求。这些领域对系统的可靠性、性能和标准化程度都有很高的要求，VXIbus 的模块化、高性能和开放性特点使其成为这些关键应用领域的理想选择。

综上所述，VXI 总线仪器通过其创新的模块化设计、开放的标准架构、优异的性能表现和便捷的即插即用特性，极大地简化了复杂自动化测试系统的构建和维护过程，显著提高了测试效率和系统可靠性，为现代自动化测试技术的发展奠定了重要基础。

4. 查阅资料，简要描述一个典型 VXI 总线仪器的应用实例。

VXI 总线仪器因其模块化、高性能和开放性，广泛应用于航空航天、国防、汽车电子、通信等领域的自动化测试与测量系统。本节以航空电子设备的自动化测试系统为例，详细介绍 VXI 总线仪器的典型应用。

(1) 应用背景与测试需求

在航空航天工业中，飞机的各种航空电子设备（如飞行控制计算机、通信导航系统、雷达单元等）在生产、维修和升级过程中需要进行严格、复杂的性能测试和功能验证。这些测试通常涉及多种信号类型（模拟、数字、射频）、高精度测量、高速数据采集和复杂的测试序列，对测试系统的性能、可靠性和灵活性都提出了极高的要求。

传统的独立仪器测试方式存在诸多局限性：测试设备占用空间大、设备间同步困难、测试效率低、系统集成复杂、维护成本高等问题。这些挑战促使航空电子行业寻求更先进的测试解决方案，VXI 总线仪器系统正是在这种需求背景下得到广泛应用的。

(2) VXI 测试系统架构设计

图 4展示了 VXI 器件的接口电路设计,说明了 VXI 模块与系统背板之间的连接方式和信号处理机制。

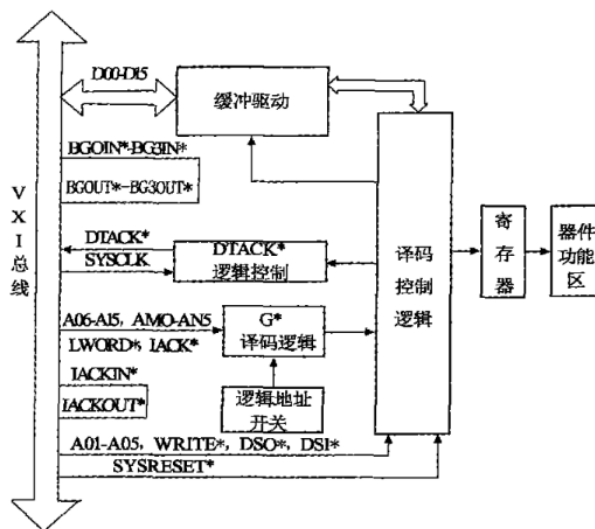


图 4: VXI 器件接口电路图

基于 VXI 总线的航空电子测试系统主要由以下几个核心部分组成:

系统控制核心包括 VXI 主机箱和主控制器。VXI 主机箱作为整个系统的机械和电气平台,提供统一的背板总线、电源分配和散热管理。主控制器通常采用高性能的嵌入式控制器模块(如基于 Intel 处理器的嵌入式 PC)或通过 MXI 接口连接到外部 PC,负责运行操作系统和测试软件,执行整个测试系统的控制、数据处理和结果分析任务。

测试仪器模块是系统的核心功能单元,根据航空电子设备的具体测试需求进行配置。高性能数字 I/O 模块用于模拟各种数字总线协议(如 MIL-STD-1553B、ARINC 429)和控制数字信号;高精度 DMM 模块负责测量电压、电流、电阻等基本电气参数;任意波形发生器模块用于产生模拟传感器信号、通信波形等,模拟各种输入条件;高速示波器/数字化仪模块用于捕获和分析瞬态信号、高频波形;射频测量模块集成了射频信号源、频谱分析仪等,专门用于通信或雷达功能的测试;开关矩阵模块实现测试点与仪器模块之间的自动化连接和切换;可编程电源模块为被测设备提供稳定、可调的电源。

软件控制平台基于 VXI Plug&Play 标准,采用专业的测试开发环境(如 NI LabVIEW、TestStand)开发测试序列。这些软件能够方便地控制各种 VXI 模块,执行复杂的测试流程,进行数据采集、分析、结果判定和报告生成。软件平台的模块化设计使得测试程序具有良好的可维护性和可扩展性。

被测设备接口通过专门设计的 UUT 接口连接被测航空电子设备,确保测试信号的完整性和可靠性。接口设计需要考虑信号匹配、阻抗控制、EMC 防护等因素,以保证测试结果的准确性。

(3) 系统工作流程与测试过程

VXI 航空电子测试系统的工作流程体现了高度的自动化和智能化特点。测试开始前,系统首先进行自检和校准,确保所有模块工作正常。然后根据被测设备的类型和测试要求,自动加载相应的测试程序和参数配置。

在测试执行阶段，系统按照预定的测试序列，通过开关矩阵自动连接相应的测试点，各个测试模块协同工作，进行多参数的并行测试。VXI 背板的高带宽特性确保了模块间的高速数据交换，而仪器总线则提供了精确的同步触发机制，保证了多通道测量的时间一致性。

数据处理和结果分析阶段，系统对采集到的大量测试数据进行实时处理和分析，自动判断测试结果是否满足规范要求，生成详细的测试报告。对于不合格的测试项目，系统能够提供详细的故障诊断信息，帮助技术人员快速定位问题。

(4) 应用效果与优势分析

VXI 总线仪器在航空电子测试中的应用取得了显著的效果。在空间效益方面，多个测试仪器功能集成在一个紧凑的机箱内，大幅减少了测试设备占用的实验室空间，提高了空间利用率。在性能表现上，VXI 背板提供的高带宽数据传输能力和精确的同步触发机制，完全满足了航空电子设备严格的测试要求，确保了测试结果的准确性和可靠性。

自动化程度的显著提升是 VXI 系统的一大亮点。模块化设计和强大的软件控制能力使得复杂的测试序列能够完全自动化执行，大幅减少了人工干预，不仅提高了测试效率，还增强了测试结果的重复性和一致性。这对于需要大批量测试的生产环境特别重要。

系统的灵活性和可扩展性为用户提供了长期的投资保护。当测试需求发生变化时，用户可以方便地添加或更换 VXI 模块，而无需重建整个测试系统。这种灵活性延长了测试系统的生命周期，降低了总体拥有成本。

从经济效益角度看，虽然 VXI 系统的初期投资可能较高，但相对于构建由大量独立仪器组成的测试系统，VXI 系统在长期运行中能够显著降低维护成本、操作成本和升级成本，具有良好的成本效益。

通过 VXI 总线仪器，航空电子设备制造商和维修机构能够构建出高效、灵活、可扩展的自动化测试平台，不仅确保了航空电子设备的质量和飞行安全，还为整个航空工业的技术进步提供了重要支撑。这一成功应用案例充分展示了 VXI 总线仪器在高端测试领域的技术优势和应用价值。

5. 查阅资料，理解串行通信中的单工、半双工和全双工的异同点。

在串行通信中，数据的传送方向和发送/接收是否能同时进行，是区分单工、半双工和全双工三种通信方式的关键特征。

(1) 技术原理

单工方式（Simplex）采用固定的单向数据传输模式，通信双方的角色在建立连接时就已确定，一方专门负责发送，另一方专门负责接收，数据流向始终保持不变。这种方式虽然限制了通信的灵活性，但简化了系统设计，降低了成本。

半双工方式（Half-Duplex）允许通信双方都具备发送和接收数据的能力，但限制了同时进行双向通信。在任意时刻，通信线路只能承载一个方向的数据流，需要通过时分复用的方式来实现双向通信。这种设计在节省硬件资源的同时，需要额外的流控制机制来协调数据传输方向。

全双工方式（Full-Duplex）提供了最完整的通信能力，通过独立的发送和接收通道，使得通信双方能够在同一时刻进行双向数据传输。虽然这种方式对硬件资源的要求较高，但能够提供最佳的通信效率和实时性。

(2) 综合对比

表 4详细比较了单工、半双工和全双工三种通信方式的技术特性、应用场景和实现方式：

6. 查阅资料，理解 RS232 总线中九线制与三线制的使用异同点。

RS232 总线是美国电子工业协会（EIA）在 1973 年公布的一种串行数据通信标准，定义了数据终端设备（DTE）和数据通信设备（DCE）之间的接口信号特性。在实际应用中，RS232 通常采用 D 型连接器，主要有 25 针和 9 针两种，其中最常用的连接方式是九线制和三线制。

(1) RS232 技术原理

RS232 总线采用负逻辑电平，其中逻辑“0”对应 +5V 至 +15V 电压，逻辑“1”对应-15V 至-5V 电压。这种电平设计使得 RS232 具有良好的抗噪声能力和较强的驱动能力。图 5展示了典型的 RS232 连接器的引脚配置。

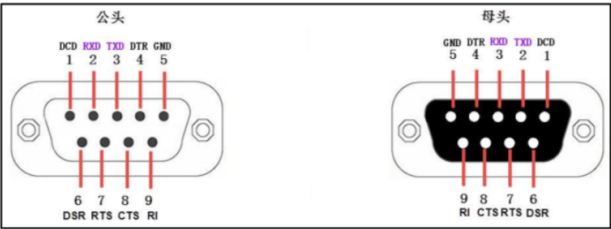


图 5: RS232 标准连接器引脚配置

RS232 总线的信号线可以分为三大类：数据线（TXD 发送数据、RXD 接收数据）、控制线/握手信号线（RTS 请求发送、CTS 允许发送、DSR 数据设备准备就绪、DTR 数据终端准备就绪、DCD 数据载波检测、RI 振铃指示）以及信号地（GND）。这些信号线组合形成了不同的连接模式，以适应各种应用场景的需求。

(2) 九线制与三线制连接方式

图 6和图 7分别展示了九线制和三线制的典型连接方式，体现了两种模式在信号线数量和复杂度上的差异。

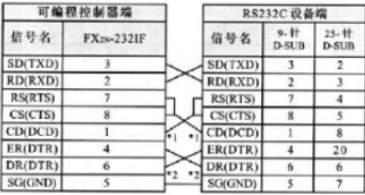


图 6: RS232 九线制连接方式

九线制通信模式采用了 RS232 标准中的全部主要信号线，包括 TXD、RXD、GND 以及完整的控制信号 RTS、CTS、DSR、DTR、DCD、RI。这种配置提供了完整的硬件流控制和调制解调器状态信

表 4: 串行通信中单工、半双工和全双工方式综合对比

对比维度	单工方式 (Simplex)	半双工方式 (Half-Duplex)	全双工方式 (Full-Duplex)
基本定义	通信双方角色固定，数据只能由发送方单向传送到接收方	通信双方都能发送和接收，但不能同时进行	通信双方使用不同传输线，可同时发送和接收
传输方向	单向固定传输	双向，但分时进行	双向同时进行
传输线需求	1 根数据线	1 根数据线或一对差分线（分时复用）	2 根或两对独立的数据线
数据流控制	无需流控制	需要方向控制机制（如 RTS/CTS 握手信号或软件协议）	无需流向控制，但可能需要流量控制
传输效率	最低（单向限制）	中等（时分复用导致效率损失）	最高（双向同时传输）
实现复杂性	最简单	需要数据流向控制逻辑	相对复杂，但无需流向切换控制
硬件成本	最低	中等，可节省布线成本	相对较高，需要更多传输线和接口电路
可靠性	中等（无反馈确认机制）	较高（可实现应答确认）	最高（独立通道，可实时反馈）
实时性	差（无法接收反馈）	中等（需要切换时间）	最佳（即时双向通信）
典型应用实例	广播系统（电视、广播电台）；传感器数据输出；遥控器；键盘输入	对讲机通信；RS485 总线；I ² C 总线；无线电台	电话通信；以太网；RS232 总线；SPI 总线；USB 总线
工程应用场景	单向信息发布；传感器监控；简单控制信号传输	工业控制网络；多点通信总线；资源共享的通信系统	高速数据传输；实时通信系统；高性能计算机接口系统
优势特点	结构简单；成本低廉；功耗较低；实现容易	节省线路资源；支持双向通信；适合多点网络	传输效率最高；实时性好；支持高带宽应用
局限性	无法反馈确认；缺乏交互性；应用场景受限	不能同时双向传输；需要仲裁机制；存在切换延迟	硬件成本高；布线复杂；功耗相对较高
发展趋势	向智能化方向发展，增加简单的反馈机制	提高切换速度，优化仲裁算法，增强抗干扰能力	提高传输速率，降低功耗，集成更多功能

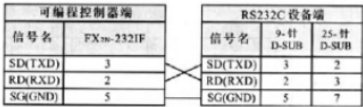


图 7: RS232 三线制连接方式

号，使得通信过程更加可靠和精确。控制信号的存在使得通信双方能够进行状态协商、流量控制和错误处理，特别适合于数据量大、传输速度快或需要复杂设备状态判断的应用场景。

三线制通信模式简化了连接复杂度，仅使用 TXD（发送数据）、RXD（接收数据）和 GND（信号地）三条最基本的信号线。这种设计虽然失去了硬件流控制能力，但极大地简化了布线和接口设计，降低了系统成本。数据传输的同步和流量控制完全依赖于软件协议或通信双方充足的缓冲区设计。

(3) 技术特性综合对比

表 5详细比较了九线制和三线制 RS232 通信方式的技术特性、应用场景和实现特点：

表 5: RS232 九线制与三线制技术特性对比		
对比维度	九线制	三线制
信号线构成	TXD、RXD、GND、RTS、CTS、DSR、DTR、DCD、RI 共 9 条信号线	TXD、RXD、GND 仅 3 条信号线
硬件握手	完整硬件握手信号支持，包括 RTS/CTS 流控制和 MODEM 状态信号	无硬件握手信号，依赖软件协议或无流控制
通信可靠性	高可靠性，具备硬件流控制和状态反馈机制	相对较低，数据溢出风险较高
布线复杂度	布线复杂，需要更多导线和连接器引脚	布线简单，连接器引脚需求最少
系统成本	相对较高，需要更多线缆和复杂连接器	成本最低，线缆和连接器简单
流量控制方式	硬件流控制（RTS/CTS）和软件流控制均可	仅支持软件流控制（XON/XOFF）或无流控
设备状态监控	支持完整的 MODEM 状态监控和设备就绪检测	无设备状态监控能力
数据传输模式	全双工，具备完整的双向通信控制	全双工，但缺少硬件层面的流量控制
故障诊断能力	强，通过控制信号可以诊断连接和设备状态	弱，主要依靠应用层协议进行错误检测
适用传输速率	适合中高速传输，硬件流控确保数据完整性	适合低中速传输，避免缓冲区溢出
典型应用场景	计算机与 MODEM 通信、工业控制系统、需要严格流控的数据传输	微控制器与简单外设、调试端口、简单点对点通信
调试便利性	复杂，需要监控多个信号线状态	简单，只需关注数据线的传输状态
兼容性考虑	与标准 MODEM 设备完全兼容	主要用于简化的点对点连接，不支持 MODEM 功能
实时性要求	适合对实时性要求较高的应用	适合对实时性要求不严格的应用
系统扩展性	便于后续扩展 MODEM 或复杂通信功能	扩展性有限，主要适用于固定的简单通信需求

7. 一个带有 RS232 总线接口的仪器无法与计算机实现通讯，请分析其可能的原因。

RS232 总线接口的仪器无法与计算机实现通信是工程实践中经常遇到的问题。这类故障通常涉及硬件连接、软件配置、电平兼容性以及协议匹配等多个层面。系统化的故障诊断需要采用”顺藤摸瓜”的排查思路，对各个节点进行逐一分析。

(1) RS232 通信故障诊断流程

图 8展示了 RS232 通信故障的系统性诊断流程，这种结构化的排查方法能够有效定位问题根源。



图 8: RS232 通信故障系统诊断流程

RS232 通信故障诊断的核心在于建立系统性的检查体系。当串口通信出现问题时，需要从硬件连接开始，逐步检查驱动程序、上位机软件、通信协议等各个环节。这种分层诊断的方法能够快速缩小问题范围，提高故障定位的效率。

(2) 故障类型与诊断要点

表 6详细分析了 RS232 通信故障的主要类型、诊断要点和解决方法：

(3) 实用调试技巧与方法

在实际工程调试中，一些经验性的技巧能够快速定位问题。回环测试是验证串口线缆和上位机是否正常的有效方法：将 USB 转 RS232 线缆的 DB9 连接器的第 2 脚和第 3 脚短接，形成回环连接。此时上位机发送的数据应该能够立即接收到。如果回环测试失败，则说明问题出现在线缆或计算机端；如果回环测试成功但与设备通信失败，则问题在于设备端或通信协议。

RS232 接线是最容易出错的环节。标准的 DB9 接口采用”2 收 3 发 5 接地”的引脚定义，其中第 2 脚为计算机的接收端（RXD），第 3 脚为计算机的发送端（TXD），第 5 脚为信号地（GND）。这里的”收发”都是相对于计算机自身而言的。在连接外部设备时，必须遵循”我的收接你的发，我的发接你的收”的交叉连接原则。

通信协议参数匹配是另一个关键要素。波特率、数据位、停止位、奇偶校验位必须在通信双方保持完全一致。特别需要注意的是校验位设置，如果一方设置了奇偶校验而另一方设置为无校验，会导致数据无法正确解析。在调试过程中，建议首先使用最基本的参数配置（如 9600bps，8 位数据位，1 位停止位，无校验），确保基础通信建立后再调整到目标参数。

数据格式的选择同样重要。大多数仪器设备采用 16 进制（HEX）格式进行数据传输，因此上位机软件也需要配置为 16 进制发送和接收模式。ASCII 格式与 16 进制格式的混用是导致通信失败的常见原因。

表 6: RS232 通信故障诊断要点与解决方法

故障类别	具体问题	诊断方法	解决方案
硬件连接问题	设备未上电或电路不通	检查电源指示灯，万用表测量通路	确保设备正常上电，检查电源连接
	收发线接错（极易出错）	按照“2 收 3 发 5 接地”原则检查	正确连接：我的收接你的发，我的发接你的收
	USB 转 RS232 线缆故障	观察转换器指示灯状态	更换线缆，确认为 RS232 而非 RS422/485
	传输距离过长	测量实际线缆长度	保持距离在 5 米以内，或使用信号放大器
	信号地未连接	检查第 5 针（GND）连接	RS232 为单端信号，必须可靠接地
驱动与 COM 口问题	COM 口设置错误	在设备管理器中查看 COM 口状态	确认正确的 COM 口号并检查占用情况
	USB 转换驱动未安装	检查设备管理器中的驱动状态	从官方网站下载正确驱动程序
	COM 口被其他程序占用	查看端口占用情况	关闭占用程序或选择其他 COM 口
上位机与协议问题	通信参数不匹配	核对波特率、数据位、停止位、校验位	确保收发双方参数完全一致
	数据格式设置错误	检查是否选择 16 进制（HEX）模式	根据协议要求设置正确的数据格式
	上位机软件问题	使用标准串口调试助手测试	排除软件因素，验证硬件连接
	命令协议不匹配	对比设备说明书检查命令格式	按照设备协议发送正确的命令
电平兼容性问题	TTL 与 RS232 电平混淆	用示波器检查信号电平范围	添加 MAX232 等电平转换芯片
	电平转换器故障	测量转换器输入输出电压	更换损坏的电平转换芯片

8. 拟设计一个带有 RS232 总线的通用型信号采集仪的总线协议，包括通信协议与命令协议。

(1) 系统功能定义与协议设计原则

该通用型信号采集仪需具备多路模拟信号采集能力，支持电压、电流、温度等多种物理量的测量。系统通过 RS232 接口实现与上位机的双向通信，既能接收上位机的控制命令，又能主动上传采集到的数据。协议设计遵循模块化、可扩展和容错性强的原则。

设计核心在于确保数据传输的可靠性和兼容性。考虑到通用型仪器需要适应不同的应用环境和上位机系统，协议参数的选择应当平衡传输速度和稳定性。同时，命令协议的设计需要具备良好的前向兼容性，为未来功能扩展预留充足的空间。

(2) 通信协议参数配置

表 7详细定义了 RS232 通信协议的各项参数配置和设计考虑：

表 7: RS232 通信协议参数配置表		
协议参数	配置值	设计考虑与说明
波特率	115200 bps	较高波特率确保数据传输效率，同时保持良好的兼容性。现代上位机系统普遍支持此速率，能够满足实时数据采集的需求
数据位	8 bits	标准字节传输格式，兼容性最佳。8 位数据位能够完整传输一个字节信息，便于二进制数据处理
停止位	1 bit	标准配置，在当前波特率下能够提供足够的字符间隔。简化时序设计，降低实现复杂度
奇偶校验	None（无校验）	简化协议实现，通过上层校验和机制保证数据完整性。避免因校验位不匹配导致的兼容性问题
流控制	None（无流控）	采用三线制连接降低硬件复杂度。通过软件缓冲区和协议设计确保数据流控制
连接方式	三线制	仅使用 TXD、RXD、GND 三根信号线，简化布线和接口设计，降低系统成本

基于上述参数配置，通信协议的完整规格定义为：115200, 8, N, 1。这种配置在保证通信可靠性的同时，最大化了与不同上位机系统的兼容性。

(3) 命令协议数据包结构设计

命令协议采用结构化的数据包格式，通过帧头、帧尾、校验和等机制确保数据传输的可靠性。表 8详细定义了数据包的字段结构：

这种数据包结构设计具有良好的鲁棒性和扩展性。帧头和帧尾提供了明确的数据包边界标识，即使在通信中断后也能快速恢复同步。校验和机制能够检测传输错误，提高数据完整性。可变长度的参数域设计使协议能够适应不同复杂度的命令需求。

表 8: 命令协议数据包结构定义

字段名称	长度	功能描述	设计说明
Frame_Header	2 字节	数据包起始标识	固定值 0xAA 0x55，便于数据包同步和边界识别
Cmd_Code	1 字节	命令或响应类型	定义具体的操作类型，支持 256 种不同命令
Param_Len	1 字节	参数长度指示	指示后续参数/数据域的字节数，支持可变长度数据
Params/Data	可变	命令参数或数据	根据命令类型承载不同的参数或测量数据
Checksum	1 字节	数据完整性校验	从命令码到数据域的累加和（取低 8 位），检测传输错误
Frame_Tail	2 字节	数据包结束标识	固定值 0x0D 0x0A (CRLF)，标识数据包结束

(4) 命令集定义与示例

表 9 定义了主要的命令集和对应的数据格式：

表 9: 信号采集仪命令集定义

命令功能	命令码	参数格式	数据包示例
采集通道电压	0x01	Channel_ID (1 字节)	请求通道 0 电压: AA 55 01 01 00 02 0D 0A
设置采样间隔	0x02	Interval_H, Interval_L (2 字节)	设置 1000ms 间隔: AA 55 02 02 03 E8 F5 0D 0A
开始连续采集	0x03	无参数	开始命令: AA 55 03 00 03 0D 0A
停止连续采集	0x04	无参数	停止命令: AA 55 04 00 04 0D 0A
成功响应	0x80	Original_Cmd (1 字节)	响应采集命令: AA 55 80 01 01 82 0D 0A
错误响应	0x81	Original_Cmd, Error_Code (2 字节)	参数错误响应: AA 55 81 02 02 01 86 0D 0A
数据上传	0x82	Channel_ID, Voltage_Data (5 字节)	上传 1.2345V: AA 55 82 05 00 00 01 09 29 C0 0D 0A

命令集的设计考虑了仪器的主要功能需求，包括单次测量、连续采集、参数配置等基本操作。响应机制分为成功响应、错误响应和数据上传三种类型，能够提供完整的操作反馈。错误代码的设计允许精确定位故障原因，便于系统调试和维护。

(5) 数据表示与编码方案

对于测量数据的表示，采用定点数编码方案以兼顾精度和处理效率。电压数据分为整数部分和小数部分分别传输，小数部分通过放大 10000 倍转换为整数存储。例如，电压值 1.2345V 表示为整数部分 1 和小数部分 2345，既保证了足够的精度，又便于嵌入式系统的定点运算处理。

这种编码方案避免了浮点数传输的复杂性，同时保持了良好的数值精度。对于不同类型的物理量，可以采用相应的比例因子进行缩放，确保数据表示的一致性和可解析性。

(6) 协议容错与扩展机制

协议设计中内置了多重容错机制。校验和机制能够检测单字节错误，帧头帧尾结构提供数据包同步能力，超时重传机制确保关键命令的可靠执行。对于扩展性，预留的命令码空间和可变长度参数设计为未来功能扩展提供了充分的灵活性。

通过模块化的协议设计和完善的错误处理机制，该总线协议能够为通用型信号采集仪提供稳定可靠的通信基础，同时具备良好的可维护性和可扩展性。

9. 如果一个带有 RS485 总线接口的仪器无法实现与计算机的通信，请分析其可能存在的问题。

由于 RS485 采用差分传输、多点通信和半双工特性，相比 RS232 总线引入了更多的技术复杂性和潜在故障点。系统化的故障诊断需要从硬件连接、软件配置、时序控制、电气特性等多个维度进行深入分析。

(1) RS485 总线技术特性与故障机理

RS485 总线是 RS422 总线的变形，通常只需一对双绞线即可实现半双工通信。它采用平衡差分传输方式，抗共模干扰能力强，传输距离远（可达 1200m），传输速率高（可达 10Mbps），并支持多点通信（允许连接多个收发器）。

图 9展示了典型的 RS485 总线系统架构，说明了差分信号传输和多点连接的基本原理。

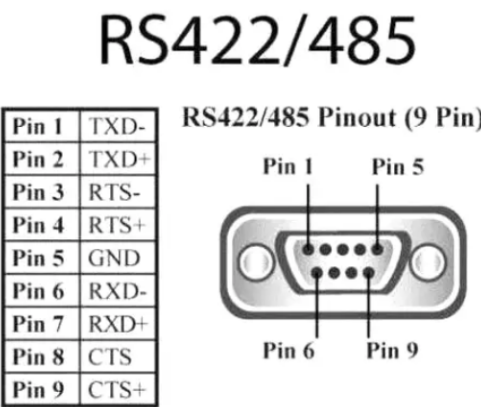


图 9: RS485 总线系统架构与信号传输原理

RS485 的半双工特性要求精确的收发方向控制，任何时刻总线上只能有一个设备处于发送状态。差分信号传输虽然提高了抗干扰能力，但对信号线的极性、阻抗匹配、终端电阻等都有严格要求。多点通

信能力则需要合理的地址分配和协议设计。

(2) 故障类型分析与诊断方法

表 10详细分析了 RS485 通信故障的主要类型、表现症状、原因分析和解决方案：

表 10: RS485 通信故障诊断与解决方案

故障类型	表现症状	主要原因	解决方案
硬件连接问题	完全无法通信或数据全错	A/B 线反接；终端电阻不当；接地不良；线缆超长或质量差	确认 A-A、B-B 正确连接；两端加 120Ω 终端电阻；确保可靠接地；使用符合规格的双绞线
数据收发乱码	能检测到数据但内容错误	波特率计算错误；BRR 寄存器值有误差；收发端参数不同步；系统时钟配置错误	根据手册重新计算波特率；直接设置 BRR 避免误差；统一通信参数；检查 HSI/HSE 时钟配置
数据内容相反	发送 0x02 收到 0xBF	RX/TX 线接反	交换 RX 和 TX 连接线
无法发送数据	发送命令无响应	中断函数名错误；时钟未开启；收发状态未切换；引脚配置错误	检查中断函数命名；开启串口和 DMA 时钟；正确控制 DE/RE；配置引脚复用和时钟
数据丢失	部分字节缺失	使用 TXE 而非 TC 中断；DMA 时序问题；终端电阻不当	改用 TC 传输完成中断；调整 DMA 控制时序；检查终端电阻配置
串口溢出宕机	通信卡死在中断中	ORE 中断未处理；接收速度过快	读取 ISR 和 DR 清除 ORE 标志；设置 OVRDIS 屏蔽 ORE；添加适当延时
RXNE 误触发	接收中断异常触发	RX 端被拉低或无上拉；总线空闲状态电平异常	配置 RX 为高电平；添加上拉电阻；去除下拉电阻
协议层问题	通信建立但功能异常	设备地址冲突；命令格式错误；超时设置不当；校验和错误	确保地址唯一性；检查数据包格式；调整超时时间；验证校验算法

(3) 时钟与波特率配置问题专项分析

波特率配置错误是 RS485 通信故障中最常见的问题之一。微控制器的波特率计算涉及系统时钟频率、串口时钟分频、过采样设置等多个参数。不同 MCU 系列的计算公式存在差异，某些情况下手册给出的公式本身就存在精度问题。

系统时钟配置是波特率准确性的基础。使用内部 HSI 时钟、外部 HSE 时钟或 MSI 时钟会直接影响波特率的计算基准。外部晶振损坏或频率配置错误会导致整个时钟系统偏差。串口时钟线的挂载错误（如挂错 APB1/APB2）会使串口模块无法获得正确的工作时钟。

过采样配置（OVER8/OVER16）影响波特率的精度和抗干扰能力。OVER8 模式可以获得更高的波特率上限，但精度相对较低；OVER16 模式精度更高但速度受限。选择合适的过采样模式需要在速度和精度之间找到平衡。

(4) 收发方向控制与时序问题

RS485 的半双工特性要求精确的收发方向控制。MAX485 等收发器芯片通过 DE（驱动使能）和 RE（接收使能）引脚控制工作模式。DE 高电平时进入发送模式，RE 低电平时进入接收模式。控制时序的精确性直接影响通信的可靠性。

发送数据时，必须在数据准备就绪后才拉高 DE 信号使能发送，发送完成后立即拉低 DE 信号切换回接收模式。如果使用 TXE（发送缓存区空）中断判断发送完成，可能在数据仍在 TX 线上传输时就切换了方向，导致数据丢失。正确的做法是使用 TC（传输完成）中断。

DMA 传输模式下的时序控制更加复杂。DMA 传输完成中断的触发时刻可能早于实际串口传输完成时刻，需要额外的延时或状态检测来确保切换时机的准确性。

(5) 终端匹配电阻与信号完整性

终端匹配电阻是保证 RS485 信号完整性的关键元件。理论上，终端电阻值应等于传输线的特性阻抗，通常为 120Ω 。终端电阻的作用是消除信号反射，保持信号的完整性和稳定性。

图 10 展示了 RS485 总线的等效通信电路图，清楚地说明了终端匹配电阻在整个通信链路中的作用和配置方式。

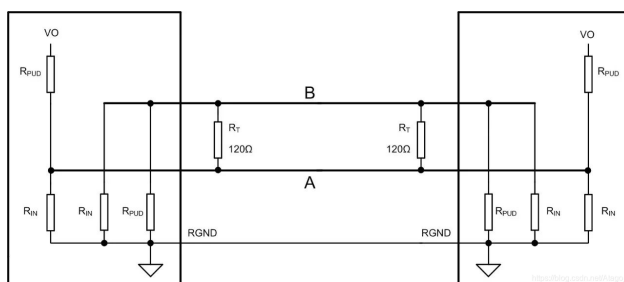


图 10: RS485 总线等效通信电路图

在短距离低速通信中，终端电阻的影响相对较小，甚至可能由于额外的负载而影响信号质量。但在长距离或高速通信中，缺少终端电阻会导致严重的信号反射和失真。终端电阻阻值的选择需要根据实际的线缆特性阻抗进行计算，一般为特性阻抗的一半左右。

偏置电阻的设置同样重要。在总线空闲状态下，A 和 B 线应保持确定的电平状态，通常通过上拉和下拉电阻来实现。偏置电阻的缺失可能导致总线空闲时出现不确定状态，引起 RXNE 中断的误触发。

通过系统性的分析方法和完善的调试手段，绝大多数 RS485 通信故障都能够得到有效解决。关键在于建立结构化的故障诊断流程，结合理论分析和实际测试，从物理层到应用层逐步排查问题根源。

10. 设计一个基于 RS485 总线的数字电表集抄局域网，给出系统设计方案。

基于 RS485 总线的数字电表集抄局域网是现代电力管理系统的重要组成部分，通过自动化的数据采集和传输技术，实现对分布式电能表的集中监控和管理。该系统充分利用了 RS485 总线的差分传输、多点通信和强抗干扰特性，构建了一个高效、可靠的电力数据采集网络。

(1) 系统架构设计与技术原理

数字电表集抄局域网采用分层架构设计，通过采集终端作为中间层设备，实现上位机与底层电能表之间的数据中转和协议转换。系统的核心在于利用 RS485 总线的半双工通信能力，在单一物理链路上实现多个设备的数据共享和交换。

图 11展示了采集终端的整体硬件架构，说明了各功能模块之间的连接关系和数据流向。

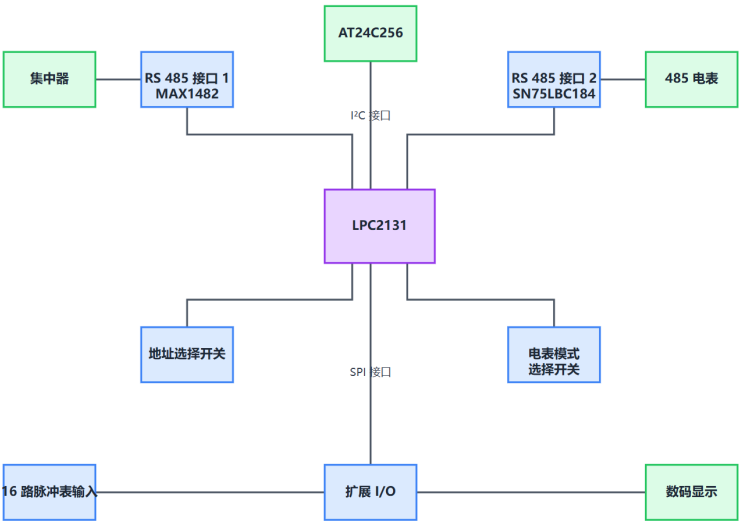


图 11: 数字电表采集终端系统架构图

系统设计采用主从式通信架构，上位机作为主控制器负责整个网络的调度和管理，采集终端作为从设备响应上位机的指令并执行相应的数据采集任务。这种架构设计既保证了通信的有序性，又避免了总线冲突的可能性。

采集终端的微处理器选用基于 ARM7 内核的控制器，具备充足的片内存储资源和丰富的外设接口。处理器集成的多个 UART 接口通过 RS485 收发器扩展为标准的 RS485 通信端口，分别用于与上位机和电能表的通信。

(2) 硬件设计与接口实现

表 11详细定义了系统的主要硬件组成及其功能配置：

RS485 接口的电路设计是系统可靠性的关键。图 12展示了下行 RS485 接口的详细电路实现，包括光电隔离、偏置电阻和匹配电阻的配置。

电路设计中采用了多重保护措施来提高通信的可靠性。高速光耦 6N137 提供电气隔离，有效防止地环路干扰和雷击损害。偏置电阻确保总线空闲状态的电平稳定，匹配电阻消除信号反射，保证数据传输的完整性。方向控制逻辑通过 R/DC 信号精确控制收发器的工作状态，避免总线冲突。

(3) 软件系统设计

软件系统采用模块化设计架构，将通信处理、数据采集、存储管理和显示控制等功能分层实现。整个软件体系包括通信协议处理、数据采集策略、存储管理和设备监控等核心模块。

通信协议与数据流程设计

表 11: 数字电表集抄系统硬件组成表

硬件模块	核心器件	功能描述与技术特点
微控制器核心	ARM7 控制器	32 位处理器，片内集成 32kB FLASH 和 8kB SRAM，提供实时时钟和看门狗功能，确保系统稳定运行
上行通信接口	MAX1482 收发器	全双工 RS485 接口，与集中器通信，支持高达 250kbps 传输速率，具备 1/8 单位负载能力
下行通信接口	SN75LBC184 收发器	半双工 RS485 接口，具备抗雷击能力，通过光电隔离提供高可靠性保护
数据存储模块	AT24C256 EEP-ROM	串行存储器，通过 I ² C 接口连接，提供 256kbit 存储容量，用于历史数据缓存
I/O 扩展模块	SPI 接口扩展	通过 74HC165/74HC595 实现 32 路 I/O 扩展，支持脉冲计量和状态显示功能
地址配置	DIP 开关组	8 位地址开关和模式选择开关，支持 256 个不同设备地址和工作模式配置
显示与指示	数码管显示	通过 SPI 控制的多位数码管，提供设备状态和错误代码的本地显示功能

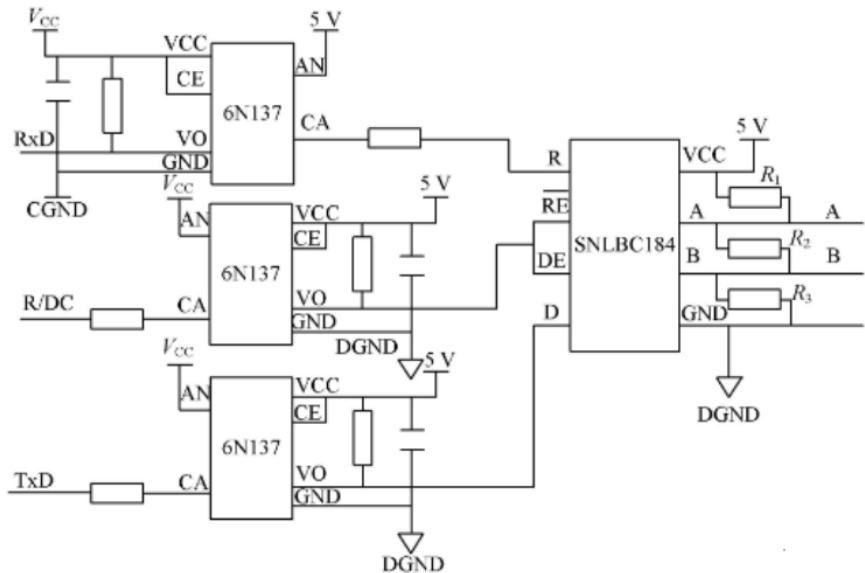


图 12: RS485 通信接口电路设计

系统通信协议采用自定义的数据帧格式，兼顾传输效率和错误检测能力。数据帧结构包括前导码、设备地址、功能码、数据长度、有效载荷、校验和以及结束标志等字段，通过模 256 校验算法确保数据完整性。

图 13描述了采集终端与集中器之间的通信流程，展现了主从式协议的工作机制。

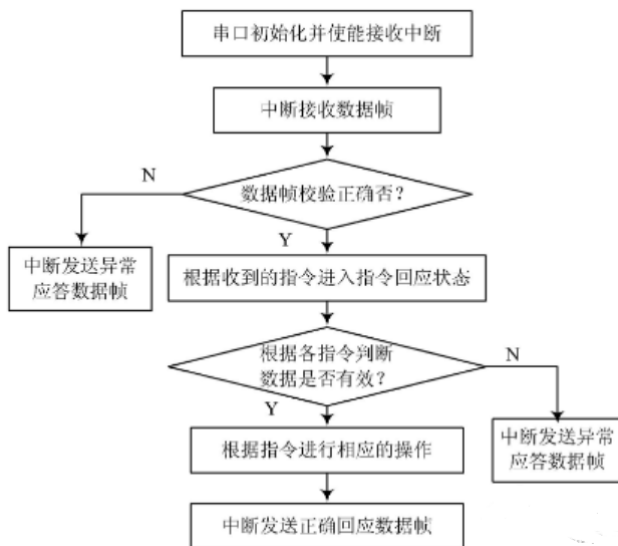


图 13: 集中器通信协议流程图

通信协议的设计充分考虑了实际应用中的各种异常情况。当接收到的数据帧校验错误或格式不正确时，系统会发送异常应答帧通知主站重新发送。正常情况下，采集终端在规定时间内完成数据处理并返回正确应答帧，确保通信的实时性和可靠性。

对于电能表的数据采集，系统支持两种工作模式：脉冲计量模式和智能通信模式。脉冲计量模式通过 I/O 扩展接口直接采集电能表的脉冲输出信号，适用于传统的脉冲式电能表。智能通信模式则基于 DL/T645-1997 多功能电能表通信规约，通过 RS485 接口与智能电能表进行双向通信。

数据采集与处理策略

图 14展示了电能表数据采集的详细流程，说明了系统如何处理不同类型的电能表和各种异常情况。

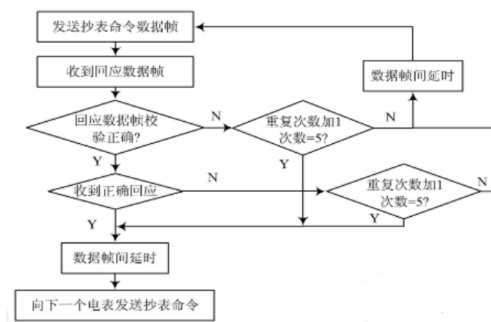


图 14: 电能表数据采集流程图

数据采集策略采用定时轮询机制，系统根据预设的时间间隔依次访问各个电能表，读取电量数据并进行本地存储。当某个电能表连续多次无法正常通信时，系统会记录故障信息并在显示模块上提供错误代码提示，便于维护人员快速定位问题。

脉冲信号的处理采用软件消抖算法，通过连续多次采样判断脉冲的有效性，有效滤除由于电磁干扰产生的虚假脉冲。这种处理方法既保证了计量的准确性，又提高了系统的抗干扰能力。

系统软件架构与任务管理

上行通信任务模块负责处理与集中器的所有交互，包括命令解析、数据查询、时钟同步和设备配置等功能。该模块采用中断驱动的方式响应集中器的指令，确保通信的实时性和准确性。

定时数据采集模块按照设定的时间周期自动执行电能表数据读取任务，采集到的数据经过格式转换和校验后存储到 EEPROM 中。存储策略采用环形缓冲区的方式，当存储空间不足时自动覆盖最早的历史数据，确保系统能够持续稳定运行。

设备状态监控模块实时监测系统的工作状态，包括通信链路状态、电能表响应情况、存储器读写状态等关键参数。当检测到异常情况时，系统会自动记录故障信息并通过显示模块提供直观的故障提示。

通过上述系统设计方案，基于 RS485 总线的数字电表集抄局域网能够实现高效、可靠的分布式电能数据采集，为电力管理系统提供准确的计量数据支撑。系统具备良好的扩展性和维护性，能够适应不同规模和复杂度的应用需求。

11. 分析比较 U 盘和智能手机的 USB 总线的供电方式。

USB (Universal Serial Bus) 总线作为现代数字设备互联的标准接口，不仅承担数据传输功能，同时具备设备供电能力。不同类型的 USB 设备根据其功能特性和应用需求，采用了不同的供电策略和电源管理方案。

(1) USB 供电技术原理

USB 标准定义了两种基本的设备供电模式：总线供电 (Bus-Powered) 和自供电 (Self-Powered)。这种分类基于设备是否依赖 USB 主机提供的电力来维持正常工作。USB 接口通过 VBUS 引脚提供标准 5V 电压，不同版本的 USB 标准在电流供给能力上存在差异。

USB 2.0 标准规定单端口最大电流为 500mA，USB 3.0 提升至 900mA，而 USB-C 配合 Power Delivery 协议可实现高达 3A 甚至 5A 的电流输出。这些技术参数的差异直接影响了不同设备在供电策略上的设计选择。

电源管理的复杂性还体现在设备的功耗特性上。总线供电设备必须严格控制功耗以符合 USB 标准限制，而自供电设备则可以通过内置电源满足更高的功耗需求，USB 接口主要用于充电和辅助供电。

(2) 供电模式对比分析

表 12 详细比较了 U 盘和智能手机在 USB 供电方式上的技术特性和应用差异：

(3) 技术实现差异分析

U 盘作为典型的总线供电设备，其电源系统设计相对简洁。主控芯片和闪存颗粒都采用低功耗工艺，整体功耗被严格控制在 USB 标准范围内。大多数 U 盘直接使用 USB 提供的 5V 电压，或通过简单的线性稳压器降压至 3.3V 为内部电路供电。这种设计的优势在于简单可靠、成本低廉，劣势是功能受限且完全依赖外部供电。

智能手机的电源管理系统则复杂得多。手机内部集成了多个功能模块，包括应用处理器、基带处理器、显示屏、摄像头、传感器等，每个模块都有不同的电压和功耗需求。PMIC 负责协调这些需求，提供多路稳压输出，同时管理电池的充电和放电过程。

表 12: U 盘与智能手机 USB 供电方式对比分析

对比维度	U 盘（总线供电设备）	智能手机（自供电设备）
主要电源来源	USB 总线提供的 5V 电压，完全依赖外部供电	内置锂离子电池（3.7V 标称电压），独立供电系统
USB 接口功能	唯一的工作电源和数据传输通道	电池充电、数据传输和辅助供电的综合接口
电流需求特性	严格遵守 USB 标准限制，峰值电流小于 500mA	远超标准限制，通过 USB BC 协议或私有协议获取 1A-3A 充电电流
功耗管理策略	超低功耗设计，静态功耗通常小于 2.5mA	动态功耗管理，待机时几十毫安，工作时可达数安培
电源管理复杂度	简单的线性稳压或无需稳压	复杂的电源管理 IC（PMIC），支持多电压域和充电管理
工作连续性	完全依赖 USB 连接，断开即停止工作	独立工作能力，续航时间通常 8-24 小时
充电功能	无充电需求，不含储能元件	支持快充协议，具备完整的充电保护和状态监控
电压兼容性	直接使用 USB 5V 或内部降压至 3.3V	通过 PMIC 转换为多种工作电压（1.8V/2.8V/3.3V 等）
热管理需求	发热量小，无需主动散热	需要考虑充电发热和处理器发热的综合管理
应用场景	数据存储、简单外设、低功耗传感器等	移动计算、多媒体处理、无线通信等高性能应用
设计复杂度	硬件设计简单，成本较低	复杂的电源系统设计，成本相对较高
标准兼容性	完全符合 USB 设备标准	兼容 USB 标准，同时支持扩展的充电协议

12. 设计一款可同时由 USB 总线供电和电池供电的 LED 台灯的电源电路

双电源供电的 LED 台灯电源电路设计需要实现 USB 供电优先、电池备用供电、自动切换以及电池充电管理等核心功能。系统在 USB 连接时优先使用外部电源并为电池充电，在 USB 断开时无缝切换至电池供电模式，确保 LED 台灯的连续稳定工作。

(1) 系统功能需求与设计目标

电源系统的主要功能包括 USB 供电检测与优先使用、电池充电管理、电源自动切换、电池保护以及为 LED 提供稳定驱动电源。设计目标是实现高效率的电源管理，最小化切换过程中的电压波动，确保 LED 亮度的连续性和稳定性。

图 15展示了完整的双电源供电系统架构，包含 USB 输入、电池管理、电源切换和 LED 驱动等主要功能模块。

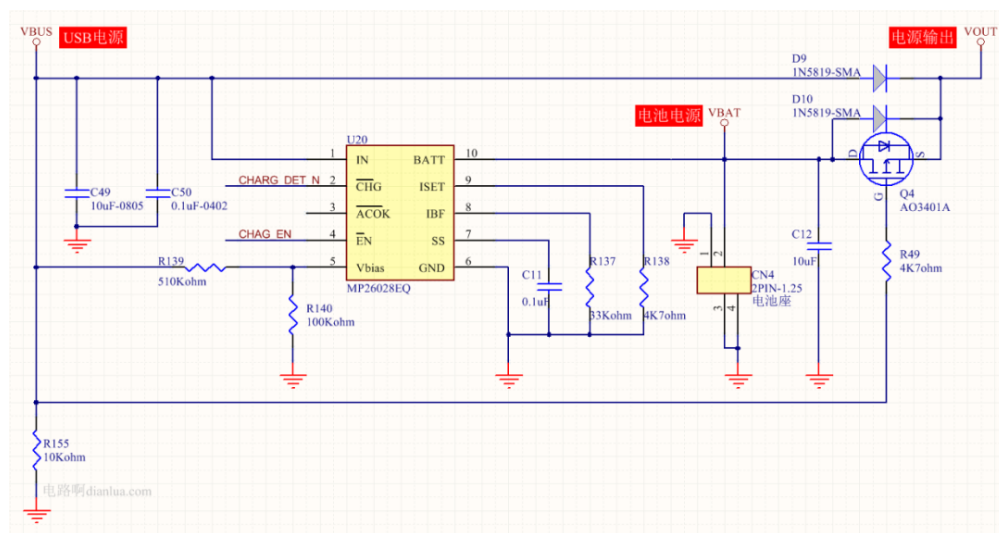


图 15: 双电源 LED 台灯电源系统架构

(2) 电源自动切换电路设计

电源自动切换功能是系统的核心，采用基于肖特基二极管和 P 型 MOSFET 的简化切换电路实现。当 USB 电源 (VBUS=5V) 接入时，电流通过肖特基二极管 D9 流向负载，同时 MOSFET Q4 因栅源电压为正而截止，电池回路断开。当 USB 断开时，VBUS 电压下降，MOSFET Q4 逐渐导通，电池开始为负载供电。

表 13详细说明了不同工作状态下的电路参数和器件状态:

电路中关键器件的选择对切换性能影响显著。肖特基二极管 D9 的正向压降约 0.3V，相比普通二极管具有更低的导通损耗。P 型 MOSFET Q4 的栅源阈值电压决定了切换的灵敏度，放电电阻 R155 的阻值影响 VBUS 的下降速度，从而影响切换的响应时间。

表 13: 电源切换电路工作状态分析

工作状态	VBUS	VOUT	Vgs	MOSFET 状态	供电路径
USB 连接	5.0V	4.7V	+0.3V	截止	USB→D9→ 负载
USB 拔出中	1.0V	3.0V	-2.0V	渐导通	电池 →Q4 体二极管 → 负载
电池供电	0V	3.7V	-3.7V	完全导通	电池 →Q4→ 负载
重新插入 USB	5.0V	4.7V	+0.3V	截止	USB→D9→ 负载

(3) 电源切换工作过程详解

USB 供电状态下,5V 的 VBUS 电压经过肖特基二极管 D9 后降至 4.7V 为负载供电。此时 MOSFET Q4 的栅极电压为 5V, 源极电压为 4.7V, 栅源电压 $V_{gs}=0.3V$ 为正值, 使得 MOSFET 处于截止状态, 电池回路完全断开。

图 16、图 17、图 18 分别展示了 USB 供电、切换过程和电池供电三个关键状态下的电路工作原理。

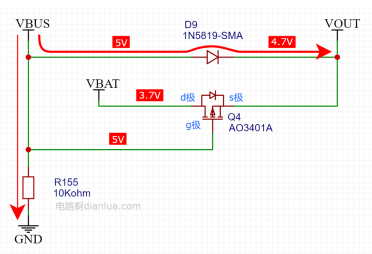


图 16: USB 供电状态

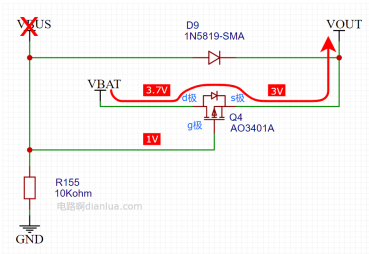


图 17: 电源切换过程

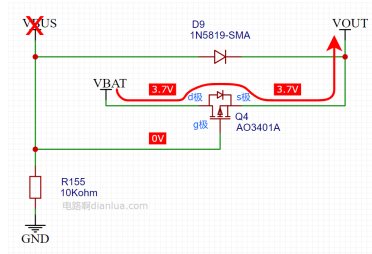


图 18: 电池供电状态

当 USB 拔出时, VBUS 电压开始下降, 放电电阻 R155 起到加速放电的作用。随着 VBUS 降低, MOSFET 的栅源电压逐渐变为负值, 器件开始导通。在完全导通前, 电池电流通过 MOSFET 的体二极管为负载供电, 但体二极管的压降较大 (约 0.7V), 会导致输出电压降低。

(4) 性能优化与改进方案

为了提高切换性能, 减少电压波动, 可以采用以下优化措施。减小 VBUS 滤波电容容值和放电电阻 R155 阻值能够加快 VBUS 的下降速度, 使 MOSFET 更快导通。在输出端增加滤波电容可以在一定程度上平滑电压波动。

最有效的改进方案是在 MOSFET Q4 两端并联一个肖特基二极管 D1, 如图 19 所示。该二极管的正向压降仅 0.3V, 远小于 MOSFET 体二极管的 0.7V 压降, 能够在 MOSFET 完全导通前提供更好的电压支撑, 显著改善切换过程中的电压跌落问题。

(5) 电池管理与 LED 驱动设计

电池充电管理采用专用的锂电池充电芯片如 TP4056, 实现恒流恒压充电模式。充电过程包括涓流充电、恒流充电和恒压充电三个阶段, 确保充电安全和电池寿命。电池保护电路集成过充、过放、过流和短路保护功能, 防止电池损坏。

LED 驱动电路采用恒流驱动方式, 通过 DC-DC 转换器将输入电压转换为 LED 所需的工作电压。根据 LED 串联数量和总压降选择升压或降压转换器。恒流控制确保 LED 亮度稳定, 延长使用寿命。

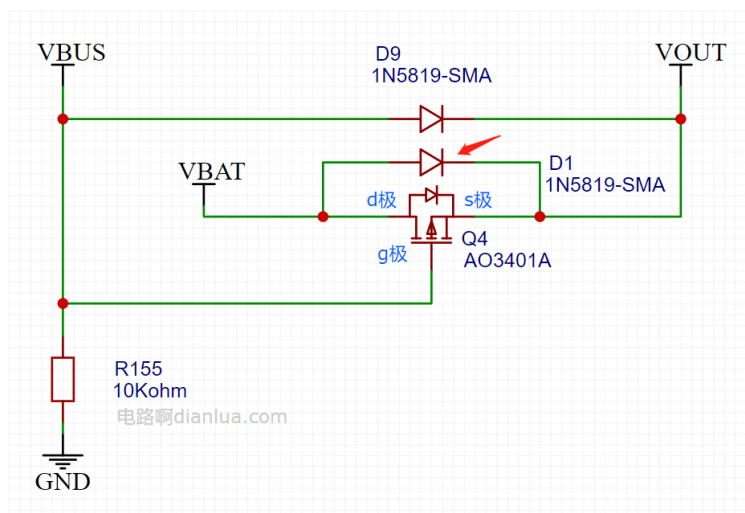


图 19: 改进的电源切换电路

该设计方案通过简洁高效的电路结构实现了双电源自动切换功能，具有响应速度快、切换损耗小、可靠性高等优点，适用于便携式 LED 照明设备的电源管理需求。

13. 分析比较带有有线通信接口和无线通信口的仪器系统异同点

(1) 基本相同点

两种通信方式的核心目的都是实现仪器系统之间、仪器与计算机之间的信息交换和数据传输。在协议层面，都需要遵循分层的通信协议结构，包括底层的物理传输协议（如波特率、数据格式）和上层的命令协议（如数据包结构、命令定义）。在系统集成方面，两者都是构建自动化测试、监控或控制系统的重要组成部分，可视为信息传递的公共通路。

(2) 技术特性对比

表 14 详细对比了有线和无线通信接口在各个技术维度的差异：

(3) 典型应用场景分析

在实际工程应用中，有线通信接口更适合需要极高传输速率、严格实时性要求、强抗干扰性和高安全性的场合。典型应用包括高速数据采集系统、工业控制主干网络、医疗设备内部通信、精密仪器测量等。这些应用通常要求数据传输的确定性和可靠性，设备位置相对固定，允许进行专门的布线设计。

无线通信接口则更适合需要设备移动性、快速部署、降低布线成本的应用场景。主要包括物联网设备、无线传感器网络、智能家居系统、便携式仪器、环境监测站等。这些应用往往分布范围广、节点数量多，对实时性要求相对宽松，但需要良好的组网能力和扩展性。

现代仪器系统越来越趋向于有线和无线通信接口的融合应用。在系统架构设计中，通常采用有线通信作为高速数据传输的主干网络，保证关键数据的实时性和可靠性；同时采用无线通信作为扩展网络，连接分布式传感器节点和便携式设备，提供系统的灵活性和可扩展性。

表 14: 有线与无线通信接口技术特性对比

对比维度	有线通信接口	无线通信接口
物理连接介质	实体线缆（双绞线、同轴电缆、USB 线缆、光纤等）	电磁波空间传输，无需物理连接
传输距离范围	受线缆长度限制，RS232 最大 15m，RS485 最大 1200m，光纤可达数公里	受发射功率和环境影响，蓝牙约 15m，ZigBee 约 75m，Wi-Fi 约 100m
传输速率	范围极广，从 RS232 的 20kbps 到 USB3.0 的 5Gbps，光纤可达 Tbps 级	相对较低，蓝牙 1-3Mbps，ZigBee<1Mbps，Wi-Fi 11-1000Mbps
抗干扰能力	双绞线差分传输抗共模干扰强，屏蔽线缆抗电磁干扰好	易受同频干扰、多径效应、环境噪声影响，需跳频和重传机制
部署复杂度	需要铺设线缆，布线复杂，移动性差，拓扑结构相对固定	部署灵活，无需布线，设备移动性强，易于快速组网扩展
安全性	物理连接相对安全，窃听需要物理接触线缆	数据空中传输易被截获，通常需要加密机制保护
功耗特性	接口功耗较低，长距离传输时驱动功率较高	射频模块功耗相对较高，但可通过休眠模式降低平均功耗
系统成本	硬件接口成本低，但布线成本高，特别在大型系统中	无线模块成本较高，但节省布线成本和安装时间
多点通信	RS485 支持多点，I ² C 支持多设备寻址，RS232 仅点对点	蓝牙支持微微网，ZigBee 可组建大规模网状网络，Wi-Fi 基于 AP 组网
实时性要求	时延确定性好，适合实时控制应用	存在不确定时延，可能受网络拥塞影响

这种混合架构能够充分发挥两种通信方式的技术优势，既满足了系统对高性能数据传输的需求，又提供了良好的部署灵活性和成本效益。随着 5G、WiFi 6 等新一代无线通信技术的发展，无线通信在速率和可靠性方面正在快速改善，未来在仪器系统中的应用比重将持续提升。

14. 简要设计一个带有蓝牙通信接口的温度采集仪系统方案

这不就是大作业的要求吗？那我们目前进度是，开发实现了一款基于 STM32 与 Android 的智能测温仪系统，实现了温度信号的实时采集、蓝牙无线传输、移动端可视化显示与智能控制。系统整体架构如图 20所示。

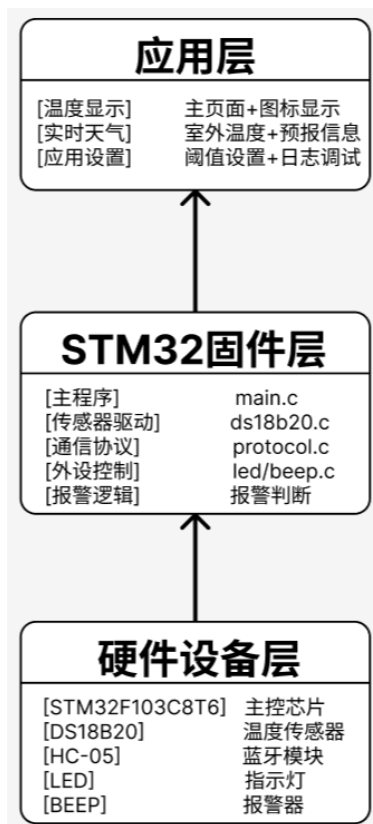


图 20: 智能测温仪系统架构

(1) 硬件系统设计

系统硬件以 STM32F103 单片机为核心控制器，外围集成以下功能模块：

- **温度传感器模块：**采用 DS18B20 数字温度传感器，测量精度 $\pm 0.5^{\circ}\text{C}$ ，测量范围 -55°C 至 $+125^{\circ}\text{C}$ ，通过单总线接口与 STM32 通信
- **蓝牙通信模块：**选用 HC-05 蓝牙模块，支持 SPP 协议，工作频率 2.4GHz，通信距离约 10 米，通过 USART 接口连接 STM32
- **指示与报警模块：**LED 状态指示灯用于显示系统工作状态，蜂鸣器用于温度超限报警

- **电源管理模块：**提供稳定的 3.3V 工作电压，支持低功耗模式

系统硬件连接框图如图 21所示。

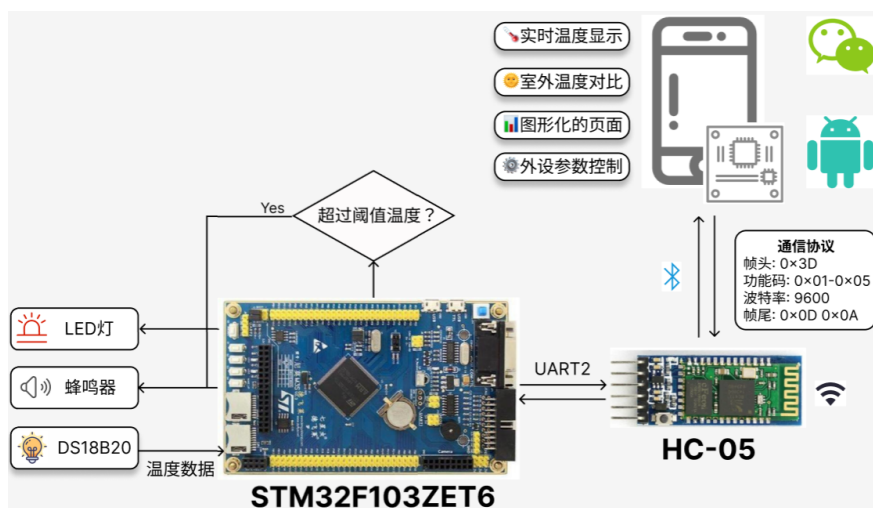


图 21: 系统硬件连接框图

(2) 通信协议设计

系统采用基于 UART 的自定义通信协议，支持二进制和文本两种格式。协议帧结构如下：

[设备 ID] [命令码] [参数] [0D 0A]

主要设备 ID 与命令码定义见表 15。

表 15: 通信协议定义

设备 ID			命令码		
代码	名称	功能	代码	名称	功能
0x01	LED	状态指示	0x00	OFF	关闭设备
0x02	BEEP	蜂鸣器	0x01	ON	开启设备
0x03	TEMP	温度传感器	0x02	READ	读取数据
0x04	ALARM	报警系统	0x03	SET	设置参数

主要功能命令示例：

- 读取温度：03 02 0D 0A → 返回：TEMP_26.5_OK
- 设置报警阈值：04 03 01 2C 0D 0A → 设置 30.0°C 阈值
- 自动上报：系统每 10 秒自动发送温度数据 (Auto T26.5)

(3) Android 应用设计

Android 端应用实现以下核心功能：

- (1) **蓝牙通信管理**：实现设备扫描、配对连接、数据收发和断线重连机制
- (2) **实时数据显示**：主界面显示当前温度值，采用数字和图形化温度计双重显示
- (3) **历史数据记录**：绘制实时温度曲线，支持历史数据查询和趋势分析
- (4) **报警功能**：支持用户自定义温度阈值，超限时声音和界面同步报警
- (5) **系统控制**：远程控制硬件 LED 状态和蜂鸣器，实现双向交互

(4) 系统特点与优势

- **无线化设计**：采用蓝牙通信，摆脱有线连接限制，提高使用便捷性
- **双协议支持**：兼容二进制高效传输和文本调试，平衡性能与开发效率
- **实时性好**：温度数据自动上报机制，确保移动端实时获取最新数据
- **用户体验优化**：图形化显示、曲线绘制、动态报警等功能提升交互体验
- **扩展性强**：模块化硬件设计和开放的协议架构，便于功能扩展和升级